

ГЕОХИМИЧЕСКИЕ ОСОБЕННОСТИ АСФАЛЬТЕНОВ ГЛУБОКОПОГРУЖЕННЫХ НЕФТЕЙ ЗАПАДНОЙ СИБИРИ

Л.С. Борисова

BorisovaLS@ipgg.sbras.ru



Рис. 1. Карта локализации нефти Западной Сибири, в которых были изучены асфальтены

Тип нефти	Фракция	Элементный состав (мас. %)						(H/C) ат
		C	H	S	N	O	N+O+S	
Генетические типы нативных нефей исследованной коллекции								
Аквагенный	A	84,8 / (77,3 - 85,4)	8,0 (7,0-9,9)	2,4 (1,0-3,9)	1,6 (0,7-3,9)	3,2 (2,3-10,6)	7,2 (3,5-13,3)	1,13 (1,05-1,39)
Террапенный	A	81,2 (72,4-85,5)	10,4 (8,4-13,7)	0,8 (0,2-1,6)	0,5 (0,2-0,9)	7,1 (1,2-16,0)	8,4 (1,6-16,7)	1,54 (1,18-1,94)
Биодеградированные нефти								
Сильно	A	84,2 (77,0-88,2)	8,0 (7,4-8,8)	1,1 (0,4-1,7)	1,1 (0,6-1,2)	5,6 (2,7-12,8)	7,8 (2,0-15,6)	1,14 (1,08-1,20)
Слабо	A	83,9 (79,3-87,4)	8,2 (7,5-9,9)	4,7 (0,7-6,0)	0,9 (0,2-1,3)	2,3 (1,6-9,2)	7,9 (3,6-12,9)	1,17 (1,08-1,49)

Аналитические полосы поглощения ИК-излучения

Длина волны поглощения, см ⁻¹	Структурные элементы, ответственные за поглощени
600-700	C-H- группы в моно замещенных бензола
650-910	C-H колебания в ароматических полициклических структурах
650-712	В молекуле имеется 5 рядом стоящих атомов H
712-780	В молекуле имеется 3 -4 рядом стоящих атомов H
780-840	В молекуле имеется 2 рядом стоящих атома H
840-910	Колебания C -H связей в изолированном атоме H
721	Длинные метиленовые цепочки (CH ₂) ₆
870-1020	CH ₂ в циклопентановых и циклогексановых структурах
1030	Сульфоксиды (>S=O)
1170	Алифатические эфиры, изоалканы
1250	Группы C – O – C
1380	C-H в CH ₃ группах
1460	CH ₂ в парафиновых и нафтеновых структурах
1600	C - C колебания в ароматических структурах
1700	Валентные колебания карбонильной группы (CO)
1720	Кетоны , кислоты , ароматические эфиры
1740	Алифатические сложные эфиры (COO)
3100 -3500	Водородные связи NH
3400	Гидроксильные группы (OH)
3030 -3100	C-H в ароматических структурах
1280,1330 и	Азотсодержащие соединения
1660,3480	Азотсодержащие соединения
1520, 1560	Бензпроизводные пиридина
2850 и 2956	CH ₂ и CH ₃ группы в парафиновых,
2870 и 2957	нафтеновых структурах

Работа посвящена изучению элементного и структурно-группового состава асфальтеновых компонентов нефти глубокопогруженных горизонтов Западной Сибири методами ИК- и ЯМР-спектроскопии. Установленная специфика высоко преобразованных проб нефти согласуется с заключением об одностороннем изменении асфальтенов разнотипного ОВ при термокатализических преобразованиях, которые сглаживают их генетические различия.

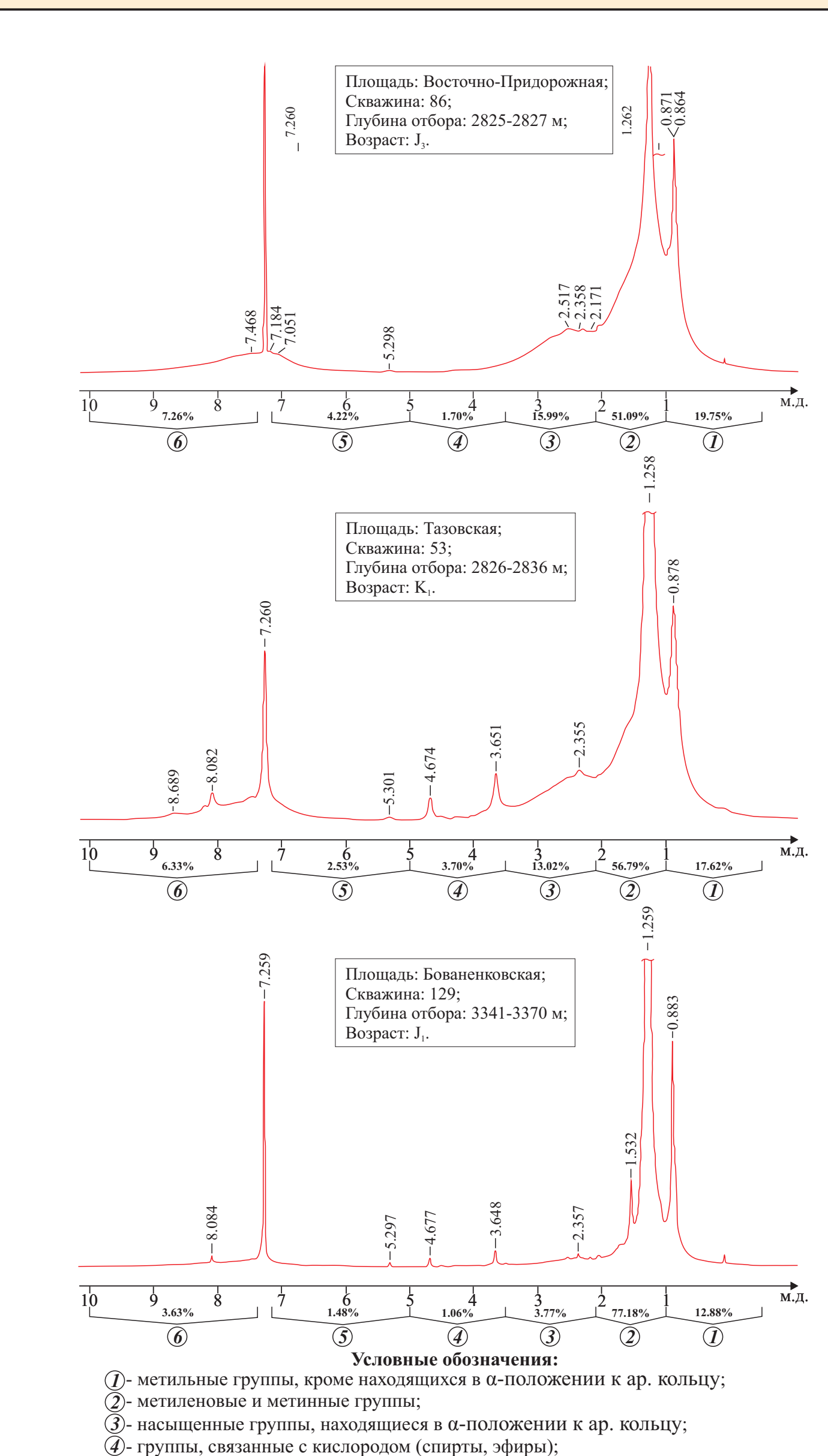


Рис. 2. Примеры ЯМР-спектров асфальтенов нефтий: не измененной вторичными процессами (Сугумутская), интенсивно биодеградированной (Тазовская), глубоко погруженной (Бованенковская).

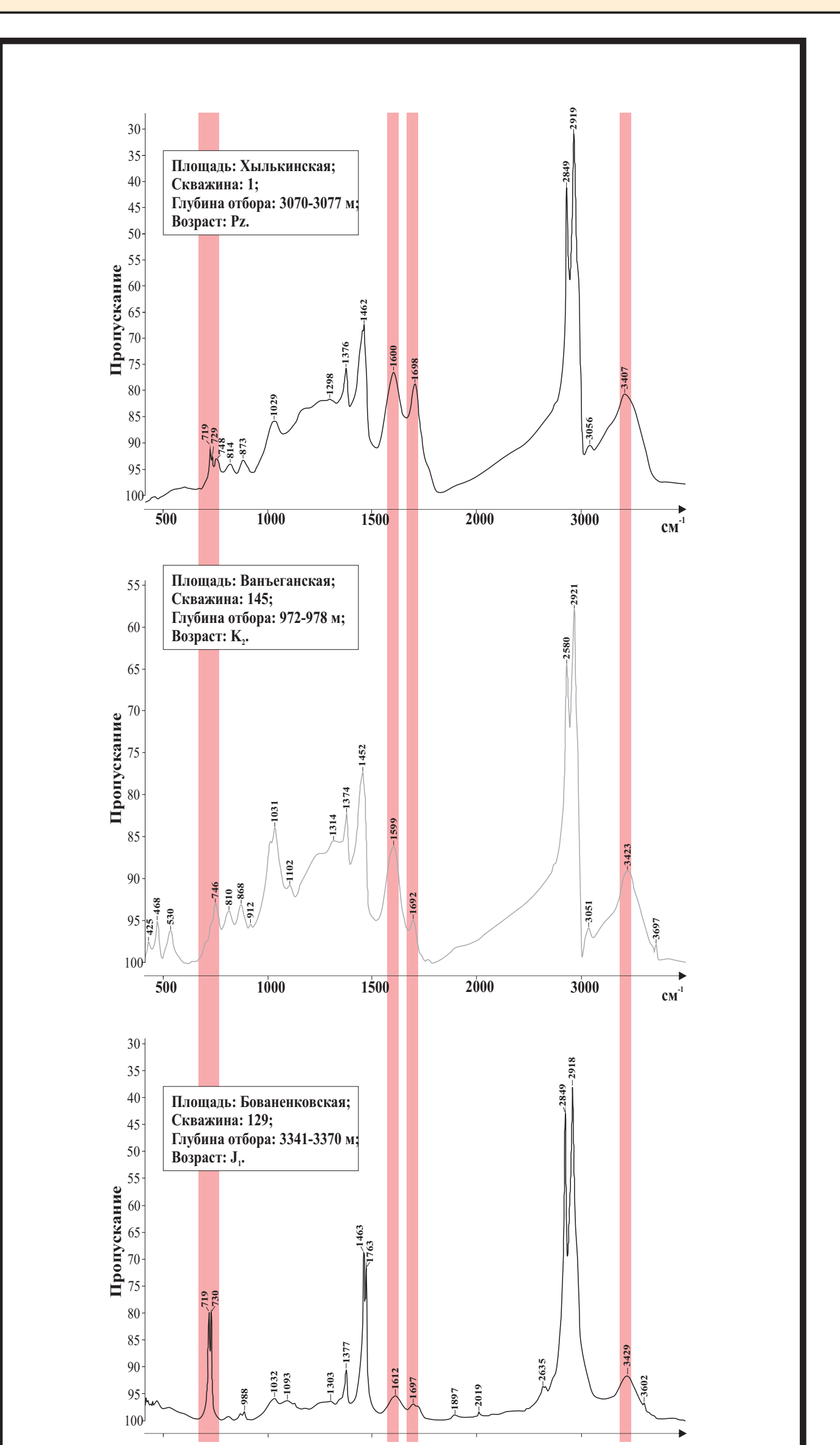


Рис. 3. ИК-спектры асфальтенов нефтий: не измененной биодеградацией (Хылькинская), интенсивно биодеградированной (Ваньеганская) и глубокопогруженной (Бованенковская)

Распределение углерода в асфальтенах нефти (средние значения и разброс)

Тип нефти	Фракция	C^α	$C^{\beta\gamma}_{(CH_2+CH)}$	$C^{\beta\gamma}_{(CH_3)}$	C_{Al}	C_{CHAr}	$C_{Ar(\Pi)}$	$C_{Ar(\kappa)}$	C_{Ar}	$C_{Ar(3)}/C_{Ar(\Pi)}$	$C_{Ar(\kappa)}/C_{Ar}$	$C_{Ar(\kappa)}/C$	C_{Nn}/C	длина цепи
Генетические типы нативных нефей исследованной коллекции														
Аквагенный	A	<u>8,9</u> (1,6-19,8)	<u>32,0</u> (22,0-40,1)	<u>8,0</u> (4,7-13,1)	<u>48,9</u> (39,9-58,3)	<u>11,8</u> (4,0-25,9)	<u>20,7</u> (3,1-26,8)	<u>30,4</u> (10,0-46,3)	<u>51,1</u> (41,7-60,1)	<u>0,43</u> (0,21-0,72)	<u>0,59</u> (0,23-0,81)	<u>0,51</u> (0,42-0,60)	<u>0,24</u> (0,18-0,40)	<u>4,2</u> (2,3-5,7)
Смешанный	A	<u>9,0</u> (7,5-10,6)	<u>40,7</u> (28,6-56,2)	<u>8,6</u> (7,1-10,5)	<u>58,3</u> (44,9-75,3)	<u>12,0</u> (8,4-16,6)	<u>21,0</u> (17,4-24,7)	<u>20,7</u> (23,3-32,9)	<u>41,7</u> (24,7-55,1)	<u>0,43</u> (0,33-0,56)	<u>0,50</u> (0,45-0,61)	<u>0,42</u> (0,30-0,55)	<u>0,17</u> (0,16-0,19)	<u>4,7</u> (4,0-4,7)
Террапенный	A	<u>8,0</u> (3,5-11,8)	<u>54,3</u> (32,1-74,6)	<u>9,8</u> (8,2-14,7)	<u>72,1</u> (56,1-87,7)	<u>12,5</u> (9,8-16,0)	<u>20,5</u> (13,3-27,8)	<u>7,6</u> (0,0-20,3)	<u>28,1</u> (13,3-43,9)	<u>0,39</u> (0,26-0,54)	<u>0,27</u> (0,02-0,43)	<u>0,28</u> (0,13-0,46)	<u>0,18</u> (0,11-0,36)	<u>7,0</u> (4,9-8,9)
Биодеградированные нефти														
Сильно-	A	<u>9,4</u> (7,6-11,8)	<u>28,4</u> (24,9-31,3)	<u>8,1</u> (5,9-12,1)	<u>45,9</u> (42,0-48,3)	<u>13,6</u> (9,5-16,5)	<u>23,0</u> (19,7-28,0)	<u>31,1</u> (26,5-34,9)	<u>54,1</u> (51,7-58,0)	<u>0,41</u> (0,36-0,56)	<u>0,58</u> (0,49-0,64)	<u>0,54</u> (0,52-0,58)	<u>0,28</u> (0,22-0,42)	<u>3,4</u> (2,3-5,0)
Слабо-	A	<u>10,1</u> (6,8-15,8)	<u>33,7</u> (28,1-38,1)	<u>8,0</u> (5,6-9,5)	<u>51,8</u> (44,2-60,9)	<u>11,4</u> (4,3-17,8)	<u>22,1</u> (19,0-28,7)	<u>24,8</u> (10,4-34,4)	<u>48,2</u> (39,1-55,8)	<u>0,44</u> (0,37-0,48)	<u>0,55</u> (0,27-0,71)	<u>0,48</u> (0,39-0,56)	<u>0,24</u> (0,20-0,30)	<u>4,3</u> (3,3-5,7)

[View Details](#) | [Edit](#) | [Delete](#)

СПИСОК ЛИТЕРАТУРЫ

- СИСТЕМЫ
СИСТЕМЫ**

 1. Борисова Л.С. Катагенетические тренды эволюции состава и структуры асфальтенов / Л.С. Борисова, И.Д. Тимошина // Георесурсы. – 2023. – Т. 25. – № 4. – С. 100-110. DOI: 10.18599/grs.2023.4.19.
 2. Brown J.K. A study of the hydrogen distribution in coal-like materials by high resolution nuclear magnetic resonance spectroscopy. 1. The measurement and interpretation of the spectra / J.K. Brown, W.R. Ladner, N. Sheppard // Fuel. – 1960. – V. 39. – № 1. – P. 79-86.
 3. Фомин А.Н. Катагенез органического вещества и перспективы нефтегазоносности юрских, триасовых и палеозойских отложений Западно-Сибирского мегабассейна / А.Н. Фомин, А.Э. Конторович, В.О. Красавчиков // Геология и геофизика. – 2001. – Т. 42 – № 11. – С. 1875-1887.
 4. Большаков Г.Ф. Инфракрасные спектры насыщенных углеводородов. Часть 1. Алканы. /Г.Ф. Большаков – Новосибирск: Наука, 1986.– 178 с.
 5. Borisova L.S. The origin of asphaltenes and main trends of their composition during lithogenesis / L.S. Borisova // Petroleum Chemistry. – 2019. – V. 59. – № 10. – P. 1118-1123. DOI: 10.1134/S0965544119100037.